



TECHNISCHE
UNIVERSITÄT
DRESDEN

Digitale Bildforensik – Spuren in Digitalbildern

Matthias Kirchner

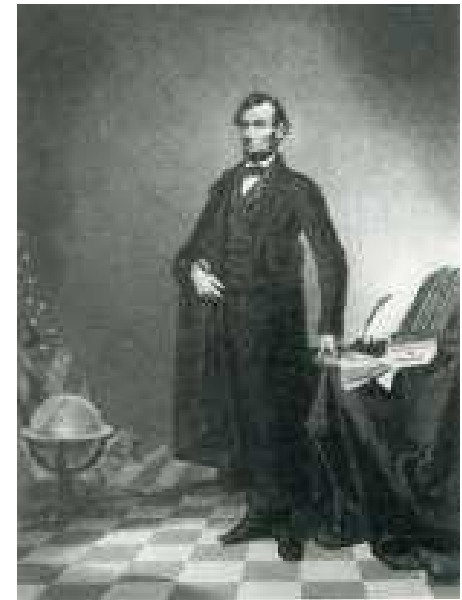
23C3, Berlin, 27. Dezember 2006

Die Fotografie ist unwiderlegbar. Sie ist gar nicht zu schlagen. [...] Der Zeichner kann sich etwas ausdenken. Der Fotograf nicht.

Kurt Tucholsky (1925)



Historische ...





... und aktuelle Bildmanipulationen



Fonda Speaks To Vietnam Veterans At Anti-War Rally



Actress And Anti-War Activist Jane Fonda Speaks to a crowd of Vietnam Veterans as Activist and former Vietnam Vet John Kerry (LEFT) listens and prepares to speak next concerning the war in Vietnam (AP Photo)



Digitale Bilder – (K)ein Abbild der Wirklichkeit?

- In Zeiten von Digitalkameras und ausgereifter Bearbeitungssoftware kann heute nahezu jeder digitale oder digitalisierte Bilder und deren Aussage manipulieren
- Nachbearbeitung alltäglich
- "Intelligente" Kameras
- Speziell ausgerichtete Software



<http://www.funpic.hu/funblog/allatok/allatok.html>

(z.B. Touristremover, "Face Beautification", ...)

⇒ Bildmanipulationen allgemein akzeptiert?

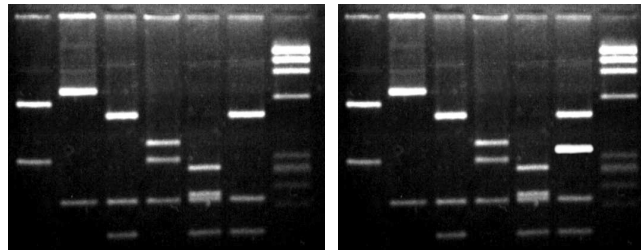
Beispiel: "Face Beautification"



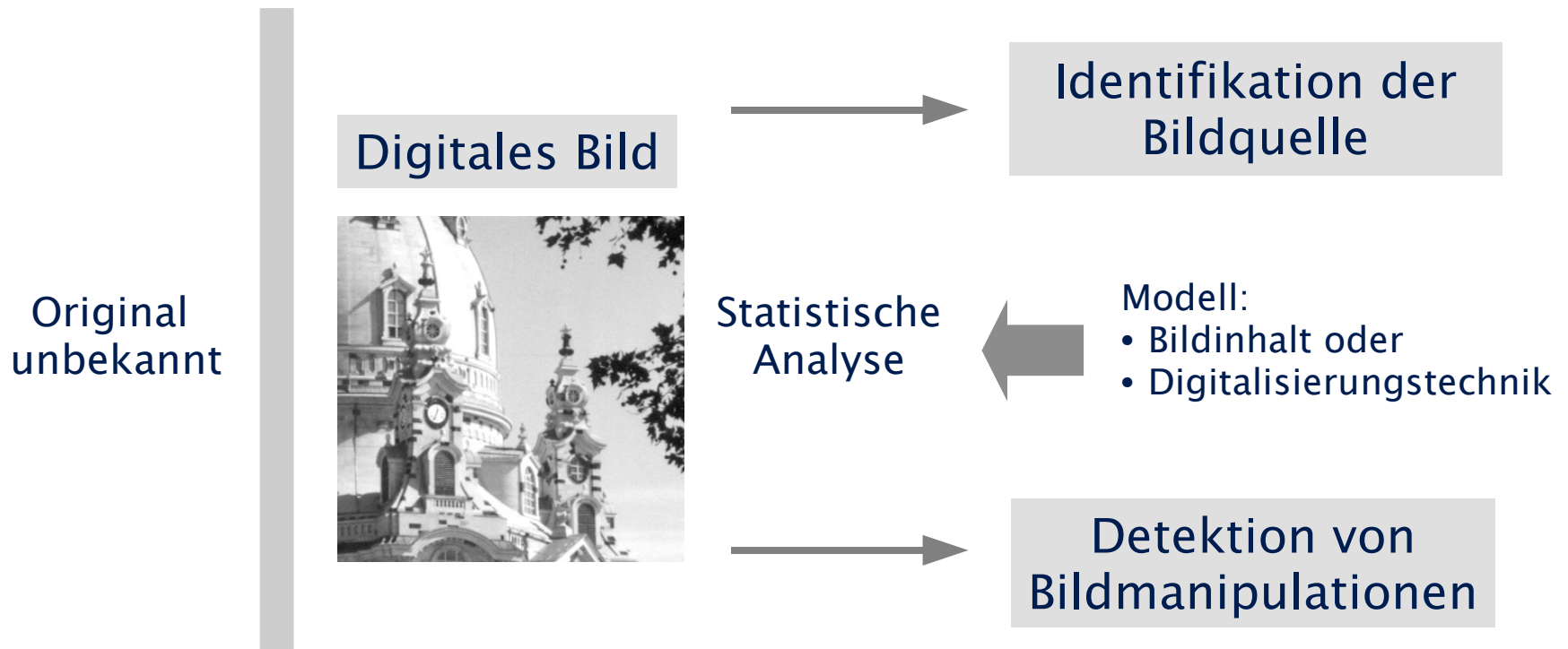
<http://www.spiegel.de/international/spiegel/0,1518,439709,00.html>

Schutz der Bildauthentizität

- **In einer Mediengesellschaft unverzichtbar**
- Aktive Verfahren (z.B. Einbetten eines Wasserzeichens) sind in vielen Fällen praktisch nicht einsetzbar:
 - Journalismus
 - Wissenschaftliche Veröffentlichungen
 - Blogs, ...



Digitale Bildforensik



Identifikation der Bildquelle

- Computergeneriert (CG) vs. Natürliche Fotografie



<http://www.fakeorfoto.com>

- Digitalkamera-Identifikation

Detektion von Manipulationen

- Meist auf spezielle Manipulationen ausgerichtete Verfahren, z.B.:
 - Fotomontagen
 - Copy & Paste
 - Affine Transformationen (Skalierung, Verzerrung, Rotation)
- Hinweise auf Manipulationen, z.B.:
 - Lokales Rauschen
 - Doppelte JPEG-Kompression

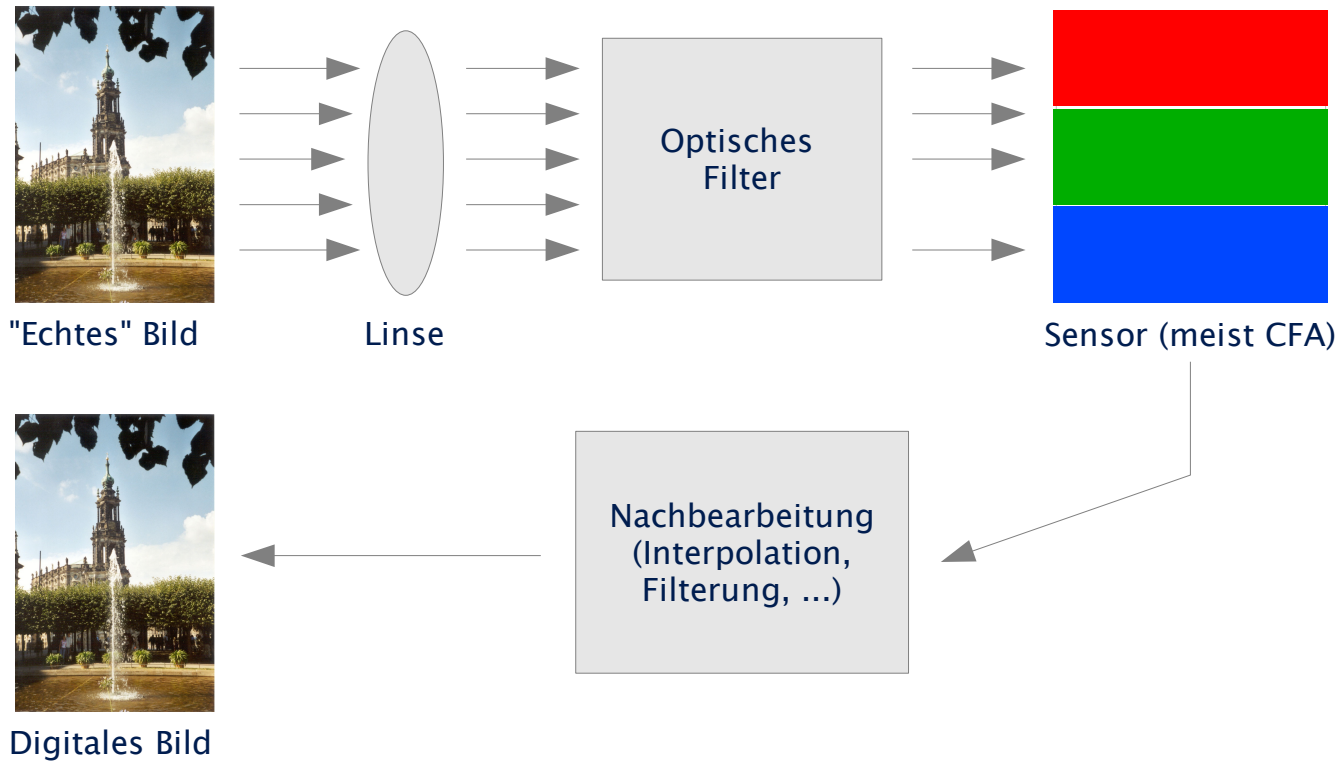
Digitalkamera-Identifikation

Digitales Bild

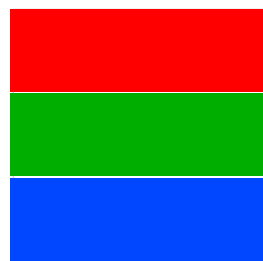


- Anwendung:
z.B. Beweisbilder vor Gericht

Signalbearbeitung in einer Digitalkamera



Rauschen



Sensor

Rauschen

- Schrotrauschen
- Dunkelstrom
- Photo Response Non-Uniformity

=

Pattern Noise

Fixed Pattern Noise

- Durch Dunkelströme
- Additiver Charakter
- Korrektur durch $X = X - D$

PRNU

- Pixel-zu-Pixel Ungleichheiten
- Hochfrequenter Charakter
- **Nutzung zur Kamera-Identifikation**

Kamera-Identifikation mit Rauschmustern

(Lukáš et al., 2005)

Annahme: PRNU ist normalverteiltes Rauschen

⇒ Digitalkamera-Identifikation = Detektion eines "Wasserzeichens"

↳ Extraktion mit geeignetem Rauschfilter F , Korrelationsmaß

$$\rho_C(Y) = \text{corr}(Y - F(Y), P_C) = \frac{(Y - F(Y) - E[Y - F(Y)])(P_C - E[P_C])}{\|Y - F(Y) - E[Y - F(Y)]\| \|P_C - E[P_C]\|}$$

F ... Rauschfilter

Y ... zu untersuchendes Bild

$Y - F(Y)$... Approximation des gesuchten Pattern Noise

P_C ... Referenz-Rauschmuster einer Kamera C

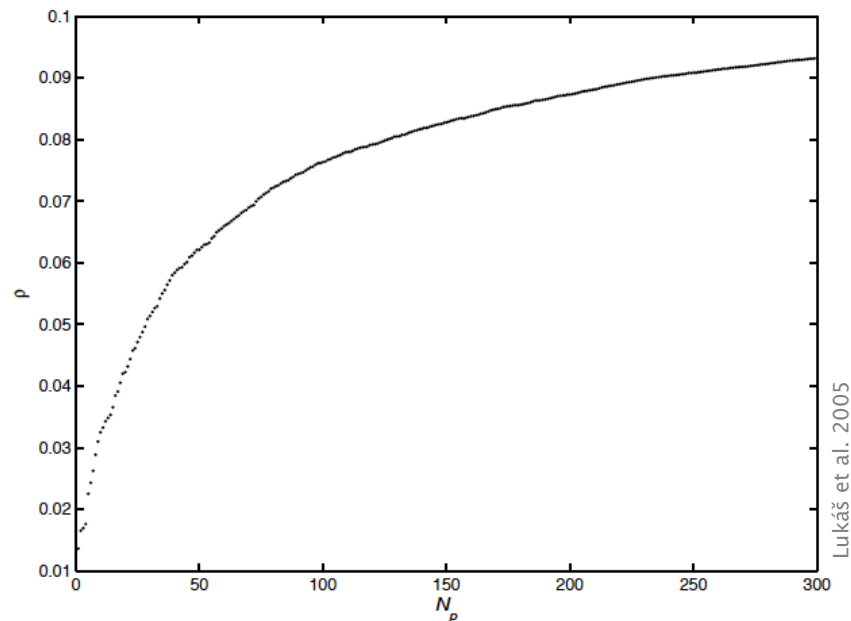
Anwendungsszenarien

- Wähle aus einer Menge von Kameras die, mit welcher am wahrscheinlichsten ein bestimmtes Bild aufgenommen wurde
 - ⇒ Kamera, deren Referenz-Rauschmuster die höchste Korrelation mit dem extrahierten Rauschmuster aufweist
- Bewerte die Aussage, dass mit einer speziellen Kamera ein bestimmtes Bild aufgenommen wurde
 - ⇒ Grenzwerte nötig, welche die Zuverlässigkeit der Entscheidung garantieren

Referenz-Rauschmuster

- Kann durch Mittelung des Rauschens aus mehreren Bildern gewonnen werden

Abhängig von der Anzahl
der verwendeten Bilder
(mindestens 50)



Untersuchte Kameras

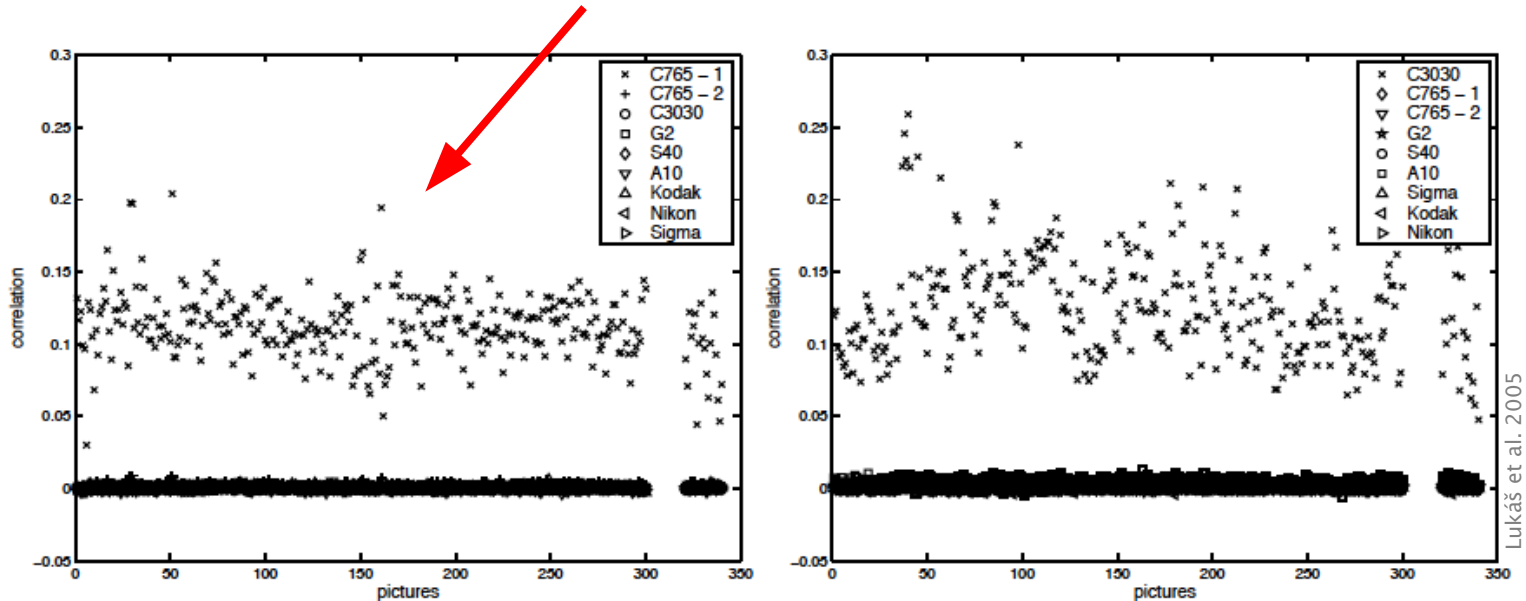
Zwei Kameras des gleichen Typs

Camera brand	Sensor	Maximal resolution	Image format
Canon PowerShot A10	1/2.7-inch CCD	1280×960	JPEG
Canon PowerShot G2	1/1.8-inch CCD	2272×1704	CRW, JPEG
Canon PowerShot S40	1/1.8-inch CCD	2272×1704	CRW, JPEG
Kodak DC290		1792×1200	TIFF, JPEG
Olympus Camedia C765 UZ - 1	1/2.5-inch CCD	2288×1712	TIFF, JPEG
Olympus Camedia C765 UZ - 2	1/2.5-inch CCD	2288×1712	TIFF, JPEG
Nikon D100	23.7×15.5 mm Nikon DX CCD	3008×2000	NEF-RAW, TIFF, JPEG
Sigma SD9	20.7×13.8 mm CMOS-Foveon X3	2268×1512	X3F-RAW
Olympus Camedia C3030	1/1.8-inch CCD	2048×1536	TIFF, JPEG

Lukáš et al. 2005

Ergebnisse (unkomprimierte Bilder)

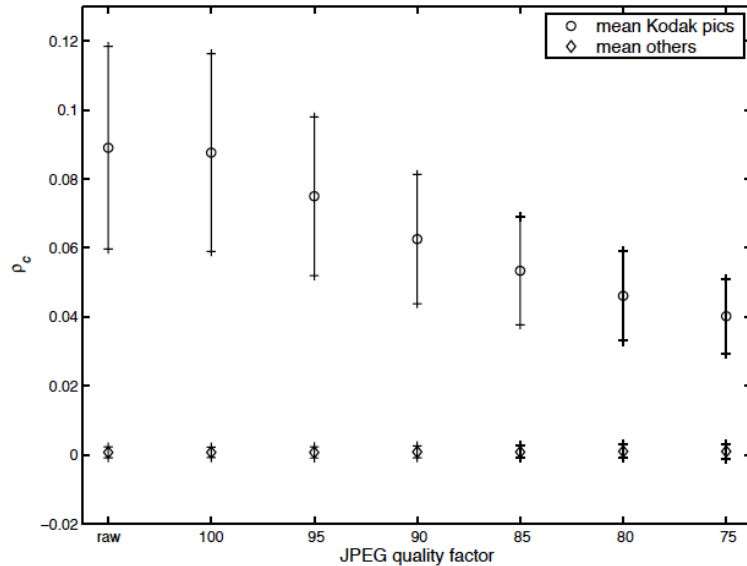
Kameras gleichen Typs unterscheidbar



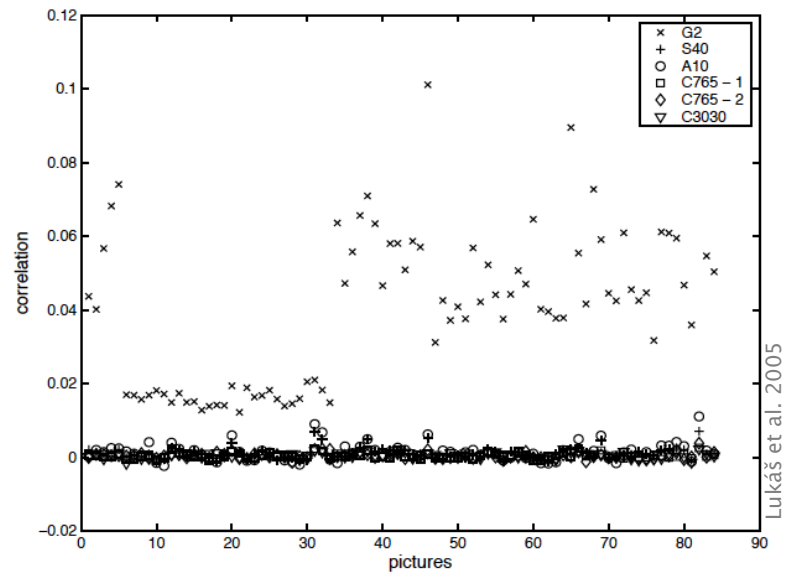
Lukáš et al. 2005

(Bei nicht passenden Referenz-Mustern wird das größere Muster beschnitten)

Ergebnisse (JPEG-Kompression, Re-Sampling)



JPEG-Kompression verkleinert
 Mittelwert u. Varianz des
 Korrelationsmaßes



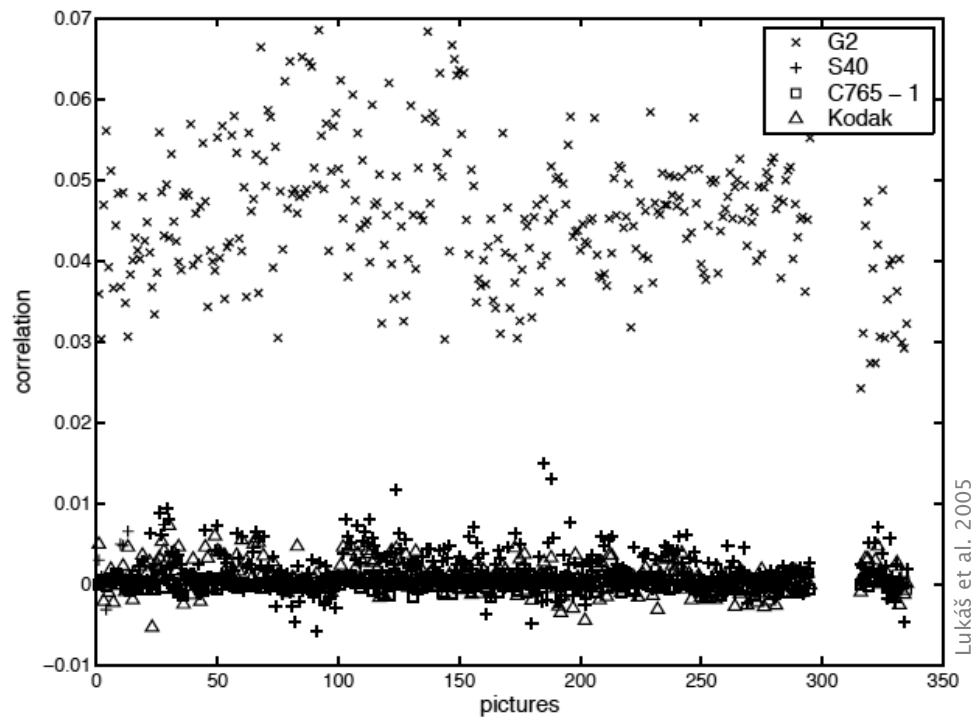
Identifikation auch nach
 Bildvergrößerung und JPEG-
 Kompression möglich

Robustheit (1)

Mögliche Angriffe

- Entfernen des Kamera-typischen Rauschmusters
 - De-Synchronisation (klassisches Wasserzeichen-Problem)
 - Wenn Referenzmuster oder Rauschfilter bekannt
- Austauschen des Kamera-typischen Rauschmusters
 - Wenn betreffende Referenzmuster bekannt

Robustheit (2)



Richtiges Referenzmuster erzeugt auch nach Entfernung des Rauschens aus dem Bild (Rauschfilter) die höchste Korrelation

Lukáš et al. 2005

Weitere Verfahren

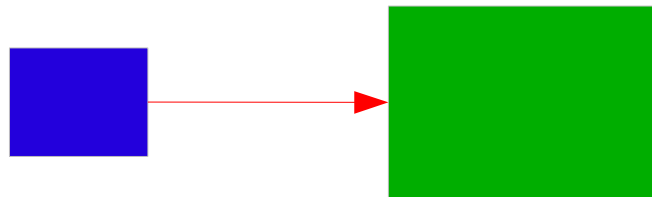
- Identifikation als Klassifikationsaufgabe (Kharrazi et al., 2004)
- Bestimmung des verwendeten Algorithmus bei der CFA-Interpolation (Bayram et al., 2005; Popescu & Farid, 2005; Swaminathan et al., 2006)
- Analyse der JPEG-Quantisierungsmatrix (Farid, 2006)

Detektion von Re-Sampling

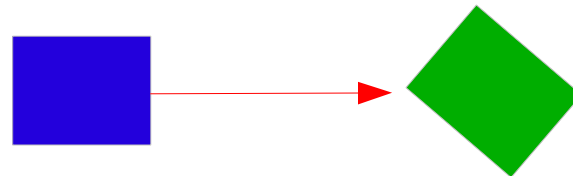
(Popescu & Farid, 2005)

Re-Sampling: im Allgemeinen nach jeder geometrischen Transformation des Bildes (oder von Bildteilen), z.B.:

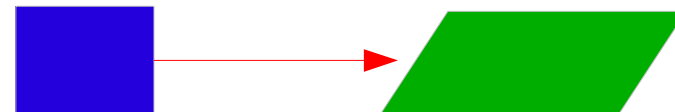
- Skalierung



- Rotation



- Scherung



Beschreibbar als
Koordinatentrans-
formation
⇒ Umtastung auf
ein neues Bildgitter

Re-Sampling eines 1D-Signals (1)

$x[k]$ mit m Samples $\xrightarrow{\text{Faktor } p/q}$ $y[k']$ mit n Samples

1) Up-Sampling

$$x_u[t'] = \begin{cases} x[k] & t' = p \cdot k \quad (k=1,2,\dots,m) \\ 0 & \text{sonst} \end{cases}$$

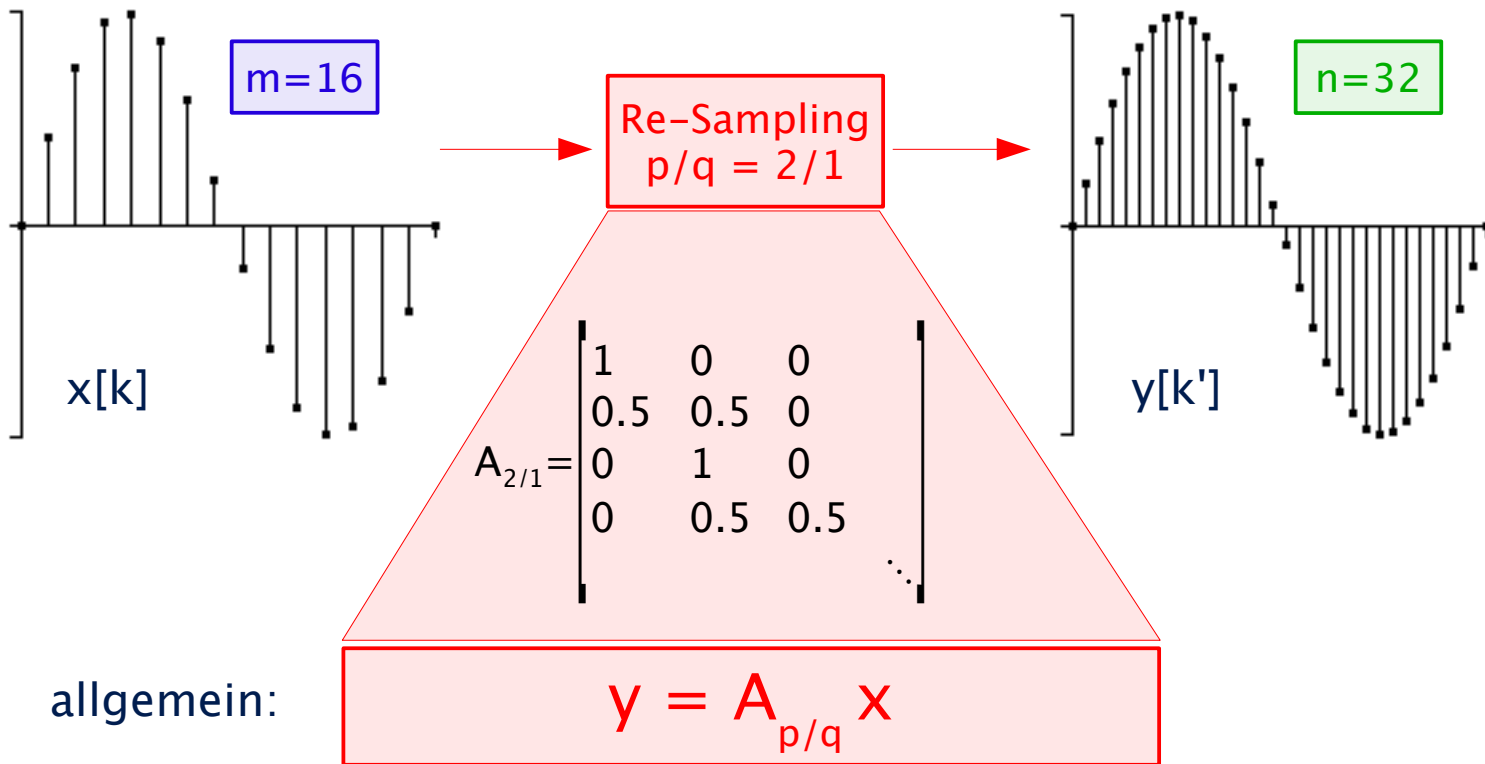
2) Interpolation

$$x_i[t'] = x_u[t'] * h[t']$$

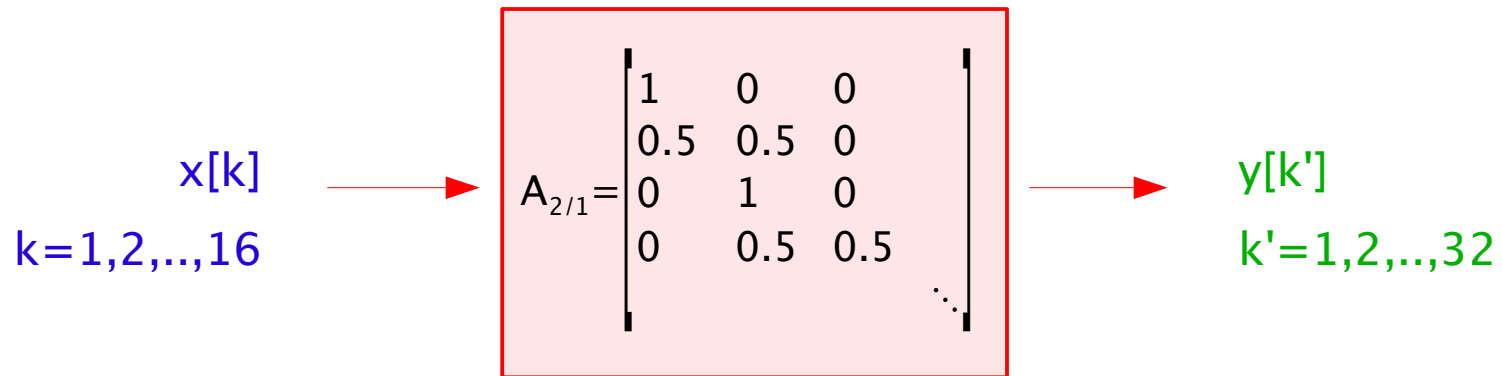
3) Down-Sampling

$$x_d[k'] \equiv y[k'] = x_i[q \cdot t'] \quad (k'=1,2,\dots,n)$$

Re-Sampling eines 1D-Signals (2)



Re-Sampling eines 1D-Signals (3)



$$y[2i-1] = x[i]$$

$$y[2i] = 0.5x[i] + 0.5x[i+1]$$

$$y[2i] = 0.5y[2i-1] + 0.5y[2i+1]$$

⇒ Korrelation zwischen benachbarten Samples

Re-Sampling eines 1D-Signals (4)

allgemein:

Abtastwerte
korrelieren

$$y[i] = \sum_{k=-N}^{k=N} \alpha_k \cdot y[i+k] \quad (\alpha_0=0)$$

Korrelierte Samples
bekannt



$$a_i = \sum_{k=-N}^{k=N} \alpha_k \cdot a_{i+k} \quad (\alpha_0=0)$$

Zeilen der Re-
Sampling-Matrix
korrelieren

Interpolations-
schema bekannt

In der Regel aber weder noch bekannt

⇒ Expectation/Maximization (EM) Algorithmus zur Detektion
von Re-Sampling

Expectation/Maximization

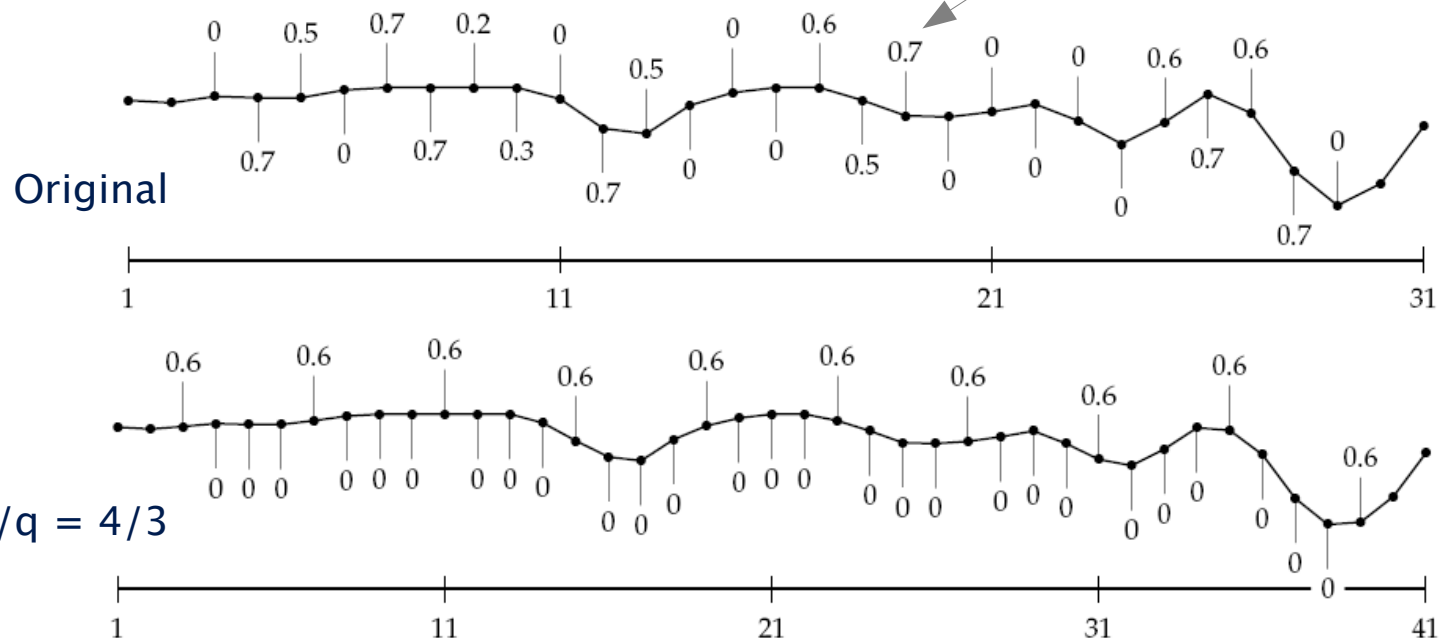
- Einteilung der Samples in zwei Klassen
 - $y[i] \in M_1$: $y[i]$ korreliert mit seinen Nachbarn
 - $y[i] \in M_2$: $y[i]$ korreliert nicht mit seinen Nachbarn

Iteration von E-Schritt und M-Schritt

- Expectation (E): Berechne Wahrscheinlichkeiten dafür, dass ein Sample zu M_1 gehört
- Maximization (M): Schätzen der Korrelationen zwischen den Samples (d.h. Schätzen der skalaren Gewichte α)

Detektion in 1D-Signalen

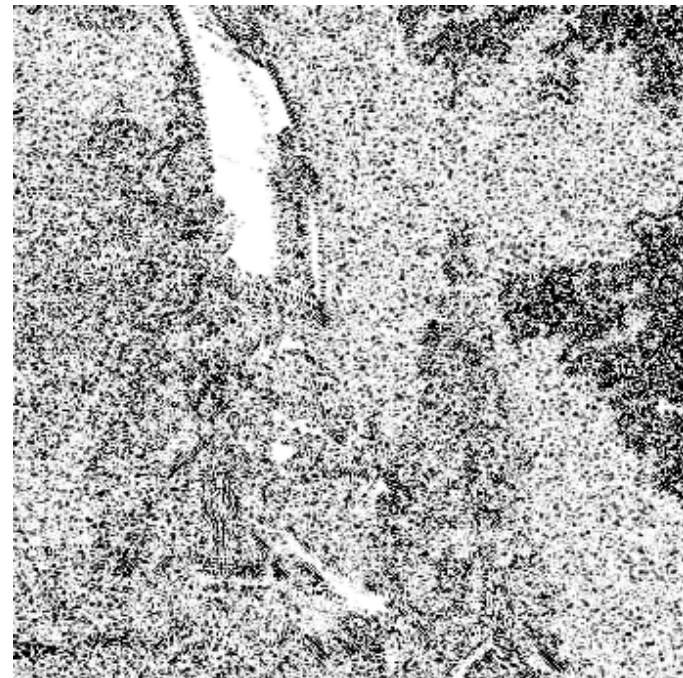
Wahrscheinlichkeit dafür,
dass ein Sample mit
seinen Nachbarn korreliert



Korrelationswahrscheinlichkeiten im umgetasteten Signal periodisch

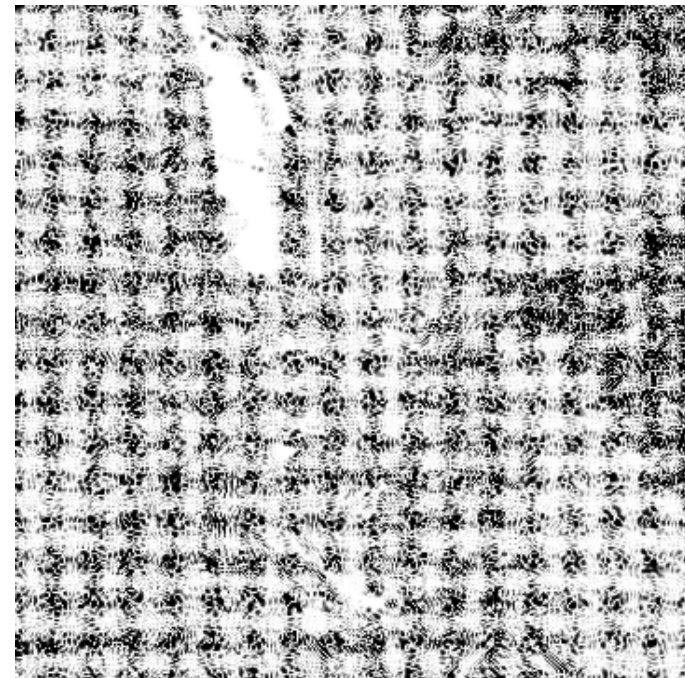
Detektion in Bildern (1)

Original



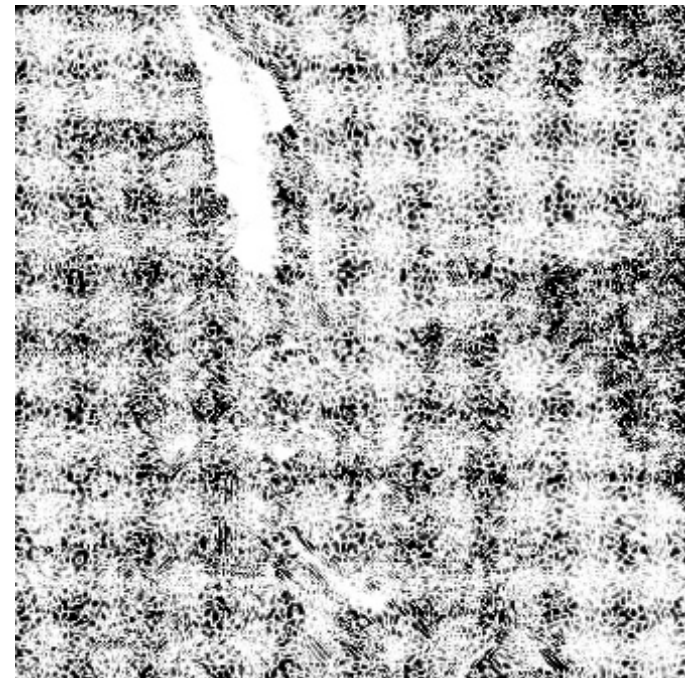
Detektion in Bildern (2)

Vergrößerung um 5%



Detektion in Bildern (3)

Verkleinerung um 2.5%



Detektion in Bildern (4)

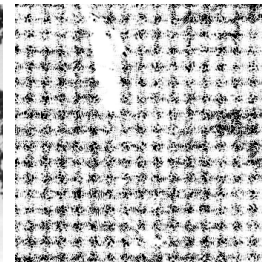
Rotation um 5°



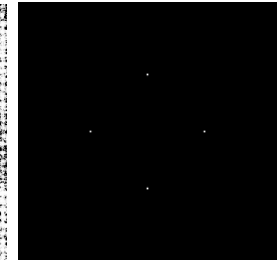
Detektion in Bildern (5)

Art des Re-Samplings
erzeugt typisches
Betragsspektrum

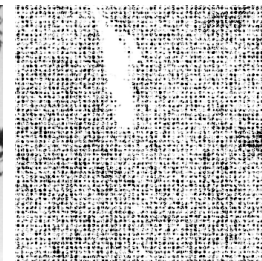
105%



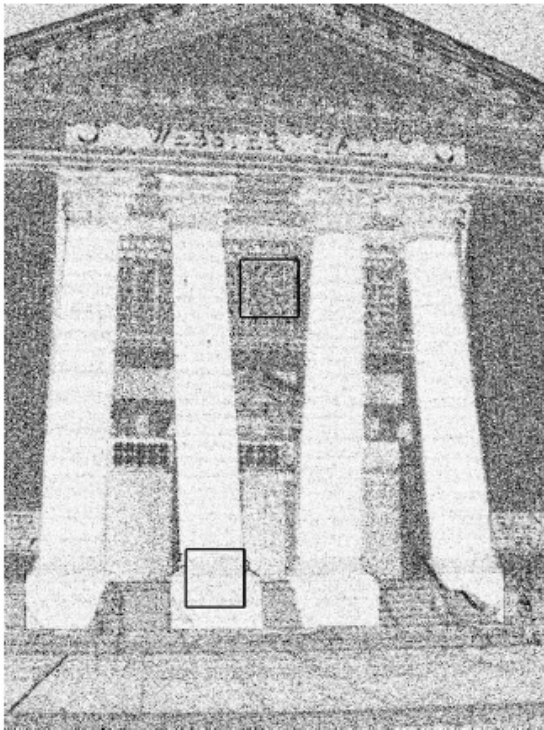
110%



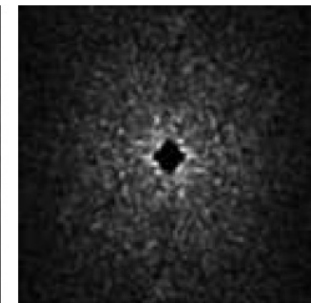
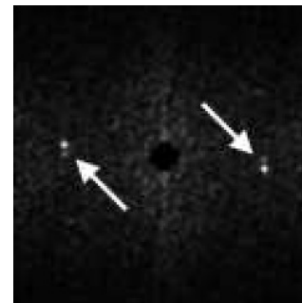
120%



Detektion lokaler Manipulationen

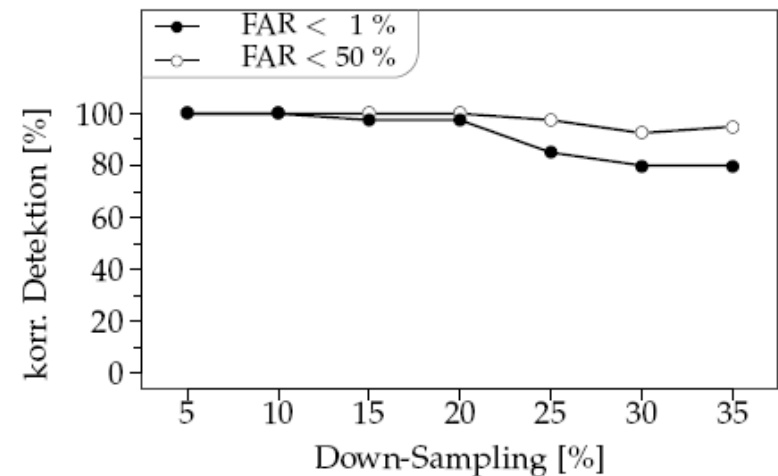
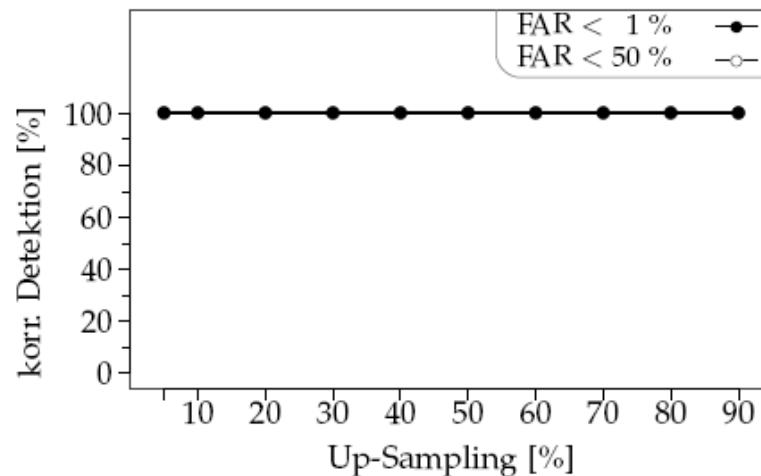


Popescu 2005



Ergebnisse

Grundlage: Vergrößerung / Verkleinerung von 40 Grauwertbildern
Vergleich mit synthetisch erzeugten periodischen Mustern

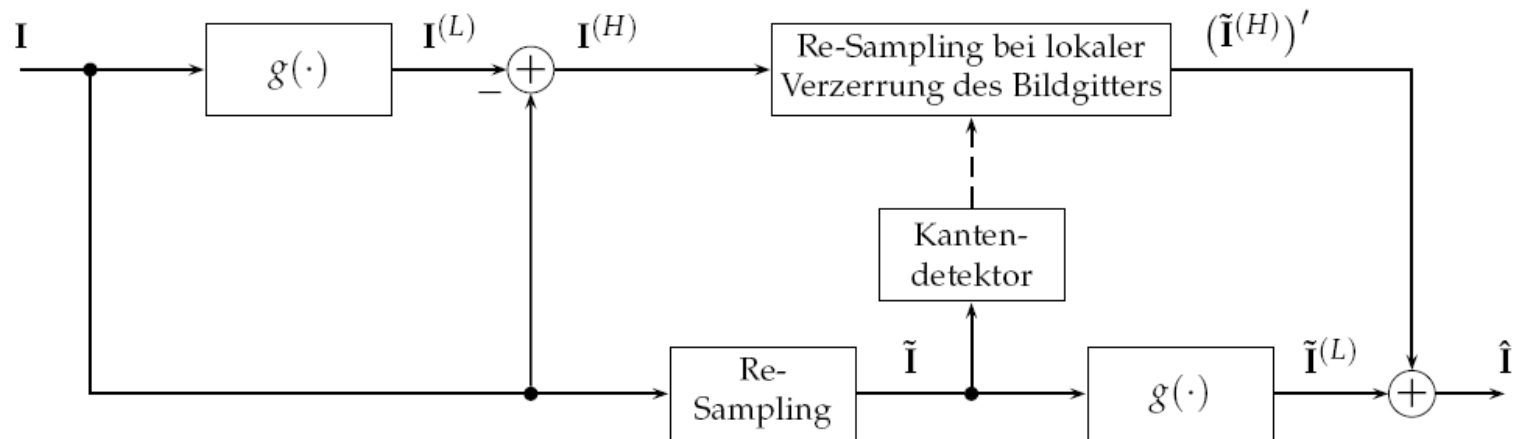


Robustheit

- Sichere Detektion auch nach einfachen Angriffen wie z.B.:
 - Additives Rauschen
 - Gamma-Korrektur
- Schwachstelle: Komprimierte Bilder (JPEG)
 - Block-Artefakte stören periodische Korrelationen
- Ausblick: Komplexere Angriffe

Ausblick (1)

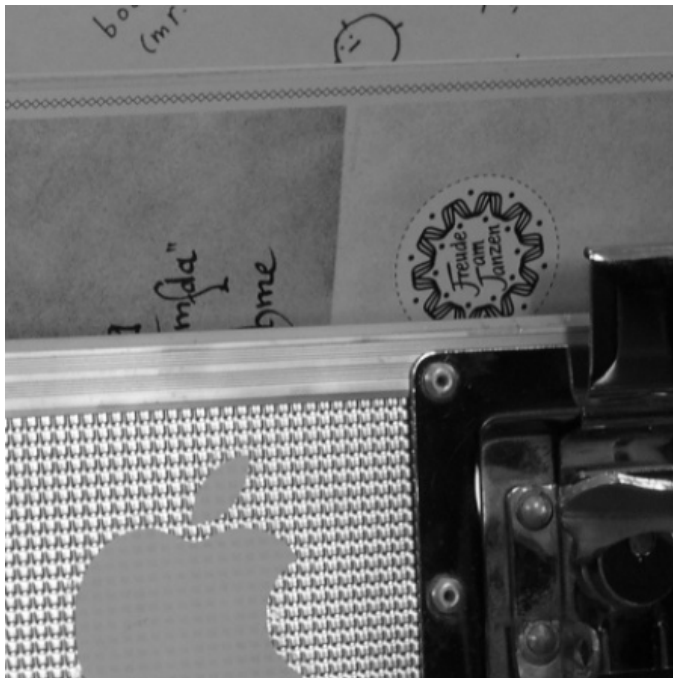
- Angriff auf Basis nicht-linearer Glättung (z.B. Median-Filter) und Re-Sampling bei lokaler Verzerrung des Bildgitters



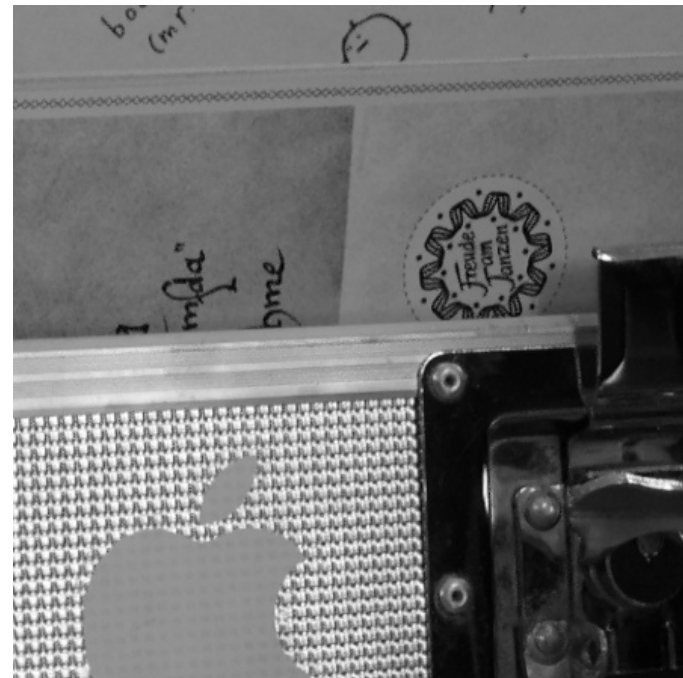
Ausblick (2)

Vergrößerung um 5%

Ohne Angriff

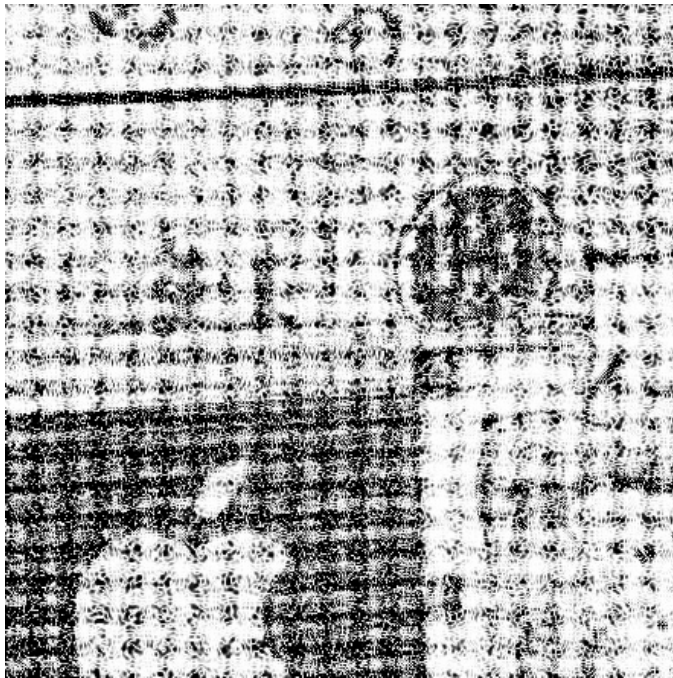


Mit Angriff



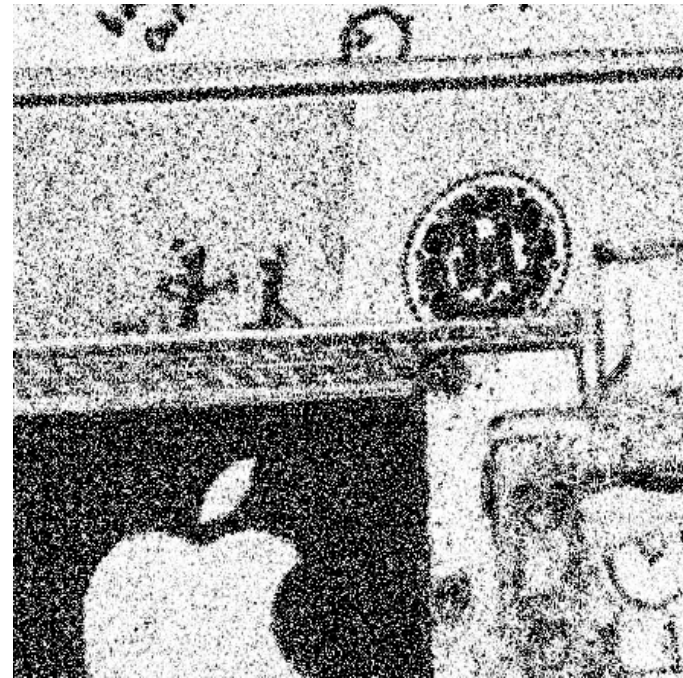
Ausblick (3)

Ohne Angriff



Vergrößerung um 5%

Mit Angriff



Weitere Verfahren (1)

- Verfahren auf Basis von Modellen der Bildentstehung:
 - Analyse der chromatischen Abberation (Johnson & Farid, 2006)
 - Kamera als optischer Tiefpass (Ng et al., 2004)
 - Analyse des Sensorrauschens (Lukáš et al., 2005)
 - Analyse der CFA-Interpolationsartefakte (Popescu & Farid, 2005)
 - Analyse der Kamera-Übertragungsfunktion (Hsu & Chang, 2006; Lint et al. 2005)

Weitere Verfahren (2)

- Verfahren auf Basis von (impliziten) Modellen des Bildinhaltes:
 - Detektion inkonsistenter Belichtungsverhältnisse (Johnson & Farid, 2005)
 - Detektion doppelter Bildteile (Farid, 2006; Fridrich et al., 2003; Popescu & Farid, 2004)
 - Lokales Rauschen (Popescu & Farid, 2004)
 - Doppelte JPEG-Kompression (Popescu & Farid, 2004; Lukáš & Fridrich, 2003)

Fazit

- Bereits zahlreiche Verfahren zur Detektion von Bildfälschungen, welche ohne Wissen zum Originalbild auskommen (blind, passiv)
- Häufig basierend auf vereinfachenden Annahmen
 - ⇒ nicht immer geeignet für "Real World"-Szenarios
- Kombiniertes Einsatz mehrerer Verfahren macht die Erstellung überzeugender Fälschungen jedoch bereits ungleich schwerer
- Wichtig: Auseinandersetzung mit komplexen Angriffen zur Entwicklung besserer Detektionsverfahren!

Quellen

- Digitalkamera-Identifikation:
J. Lukáš, J. Fridrich, M. Goljan: Determining Digital Image Origin Using Sensor Imperfections. Proceedings of SPIE, Vol. 5685, 249–260, 2005.
<http://www.ws.binghamton.edu/fridrich/publications.html>
- Detektion von Re-Sampling:
A.C. Popescu, H. Farid: Exposing Digital Forgeries by Detecting Traces of Re-sampling. IEEE Transactions on Signal Processing, 53(2), 758–767, 2005.
<http://www.cs.dartmouth.edu/farid/publications>